

681.516.7

Математическая модель движения системы мягкой посадки космического аппарата

В.М. Чуркин

Описывается математическая модель пространственного движения комбинированной системы мягкой посадки (КСМП) спускаемого космического аппарата (КА), составленной из КА, парашютной системы (ПС) и тормозной двигательной установки (ТДУ). При записи уравнений движения КСМП рассматривается ее упрощенная физическая модель в виде двух твердых тел (купола ПС и КА с ТДУ), соединенных невесомыми стропами и подвесной системой. Скорость воздушной среды выражается суммой трех составляющих ветра: постоянной, турбулентной и порыва. При определении проекций главного вектора и главного момента сил тяги ТДУ считается, что тормозные двигатели расположены на кольце с центром на оси симметрии КА, а создаваемые ими силы тяги параллельны и направлены в одну сторону. Предлагаемая математическая модель может быть использована как для численного, так и аналитического исследования динамики КСМП.

Ключевые слова: парашютная система; космический аппарат; тормозная двигательная установка; порыв ветра; случайная величина; закон Релея; массовый расход топлива.

Составим математическую модель пространственного движения комбинированной системы мягкой посадки (КСМП) космического аппарата (КА), составленной из однокупольной парашютной системы (ПС) и КА, оснащенного тормозной двигательной установкой (ТДУ). Реальную КСМП заменим ее упрощенной физической моделью в виде двух твердых тел (купола ПС и КА), соединенных невесомыми стропами и подвесной системой (рис.1).

Полагая, что купол ПС имеет плоскость симметрии, а его центр масс совпадает с центром давления, запишем уравнения движения купола в проекциях на оси связанной с ним системы координат XOYZ, [1]

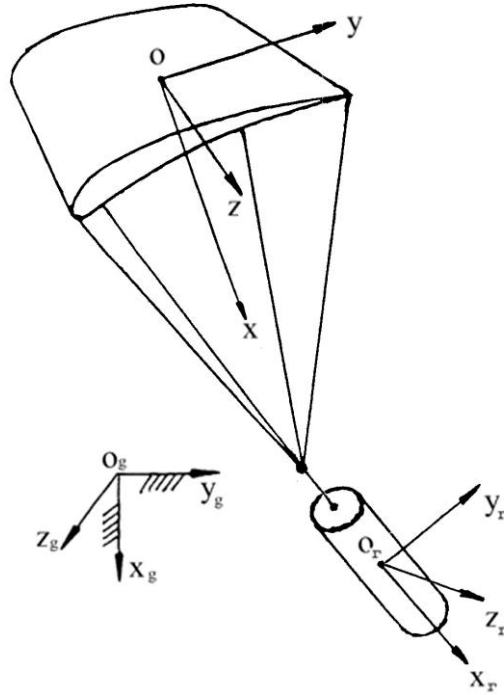


Рис. 1.

$$\begin{aligned}
 & (m_k + \lambda_{11}) \dot{V}_1 + \lambda_{12} \dot{V}_2 - (m_k y_k - \lambda_{16}) \dot{\omega}_3 + (m_k + \lambda_{33}) \omega_2 V_3 - (m_k + \lambda_{22}) \omega_3 V_2 - \lambda_{12} \omega_3 V_1 + \\
 & + (m_k y_k + \lambda_{34}) \omega_1 \omega_2 - (m_k x_k - \lambda_{35}) \omega_2^2 - (m_k x_k + \lambda_{26}) \omega_3^2 = -m_k g \alpha_{12} - 0.5 c_{x1} \rho V_r^2 F_n + T_x + \\
 & + \sum_{j=1}^3 W_j \{ \lambda_{12} \omega_1 \alpha_{3j} - (\lambda_{11} - \lambda_{33}) \omega_2 \alpha_{3j} + [(\lambda_{11} - \lambda_{12}) \alpha_{2j} - 2 \lambda_{12} \alpha_{1j}] \omega_3 \};
 \end{aligned}$$

$$\begin{aligned}
 & (m_k + \lambda_{22}) \dot{V}_2 + \lambda_{12} \dot{V}_1 + (m_k x_k + \lambda_{26}) \dot{\omega}_3 + (m_k + \lambda_{11}) \omega_3 V_1 - (m_k + \lambda_{33}) \omega_1 V_3 + \lambda_{12} \omega_3 V_2 + \\
 & + (m_k x_k - \lambda_{35}) \omega_1 \omega_2 - (m_k y_k + \lambda_{34}) \omega_1^2 - (m_k y_k - \lambda_{16}) \omega_3^2 = -m_k g \alpha_{22} + 0.5 c_{y1} \rho V_r^2 F_n + T_y + \\
 & + \sum_{j=1}^3 W_j \{ (\lambda_{22} - \lambda_{33}) \omega_1 \alpha_{3j} - \lambda_{12} \omega_2 \alpha_{3j} + [(\lambda_{11} - \lambda_{22}) \alpha_{1j} + 2 \lambda_{12} \alpha_{2j}] \omega_3 \};
 \end{aligned}$$

$$(m_k + \lambda_{33}) \dot{V}_3 + (m_k y_k + \lambda_{34}) \dot{\omega}_1 - (m_k x_k - \lambda_{35}) \dot{\omega}_2 + (m_k + \lambda_{22}) \omega_1 V_2 - (m_k + \lambda_{11}) \omega_2 V_1 +$$

$$+ \lambda_{12}(\omega_1 V_1 - \omega_2 V_2) + (m_k x_k + \lambda_{26}) \omega_1 \omega_3 + (m_k y_k - \lambda_{16}) \omega_2 \omega_3 = -m_k g \alpha_{32} + 0.5 c_{z1} \rho V_r^2 F_n +$$

$$+ T_z + \sum_{j=1}^3 W_j \{[(\lambda_{22} - \lambda_{33}) \alpha_{2j} + \lambda_{12} \alpha_{1j}] \omega_1 - [(\lambda_{11} - \lambda_{33}) \alpha_{1j} + \lambda_{12} \alpha_{2j}] \omega_2\};$$

$$(J_{11} + \lambda_{44}) \dot{\omega}_1 + (J_{12} + \lambda_{45}) \dot{\omega}_2 + (m_k y_k + \lambda_{34}) \dot{V}_3 + (J_{33} + \lambda_{66} - J_{22} - \lambda_{55}) \omega_2 \omega_3 -$$

$$- (J_{21} + \lambda_{45}) \omega_1 \omega_3 + (m_k y_k + \lambda_{34}) \omega_1 V_2 - (m_k y_k - \lambda_{16}) \omega_2 V_1 +$$

$$+ (\lambda_{26} + \lambda_{35})(\omega_2 V_2 - \omega_3 V_3) = \sum_{j=1}^3 W_j \{[(\lambda_{16} + \lambda_{34}) \alpha_{1j} + \lambda_{26} \alpha_{2j}] \omega_2 -$$

$$- \lambda_{34} \omega_1 \alpha_{2j} - \lambda_{35} \omega_3 \alpha_{3j}\} - m_k g y_k \alpha_{32} + 0.5 m_{x1} \rho V_r^2 D_k F_n + M_x;$$

$$(J_{22} + \lambda_{55}) \dot{\omega}_2 + (J_{12} + \lambda_{45}) \dot{\omega}_1 - (m_k x_k - \lambda_{35}) \dot{V}_3 + (J_{12} + \lambda_{45}) \omega_2 \omega_3 +$$

$$+ (J_{11} + \lambda_{44} - J_{33} - \lambda_{66}) \omega_1 \omega_3 - (m_k x_k + \lambda_{26}) \omega_1 V_2 - (m_k x_k - \lambda_{35}) \omega_2 V_1 +$$

$$+ (\lambda_{16} + \lambda_{34})(\omega_3 V_3 - \omega_1 V_1) = \sum_{j=1}^3 W_j \{-[(\lambda_{26} + \lambda_{35}) \alpha_{2j} + \lambda_{16} \alpha_{1j}] \omega_1 +$$

$$+ \lambda_{35} \omega_2 \alpha_{1j} + \lambda_{34} \omega_3 \alpha_{3j}\} + m_k g x_k \alpha_{32} + 0.5 m_{y1} \rho V_r^2 D_k F_n + M_y;$$

$$(J_{33} + \lambda_{66}) \dot{\omega}_3 - (m_k y_k - \lambda_{16}) \dot{V}_1 + (m_k x_k + \lambda_{26}) \dot{V}_2 + (J_{12} + \lambda_{45})(\omega_1^2 - \omega_2^2) +$$

$$+ (J_{22} + \lambda_{55} - J_{11} - \lambda_{44}) \omega_1 \omega_2 + (m_k x_k + \lambda_{26}) \omega_2 V_1 - (m_k x_k - \lambda_{35}) \omega_1 V_3 -$$

$$- (m_k y_k + \lambda_{34}) \omega_2 V_3 + (m_k y_k - \lambda_{16}) \omega_3 V_2 = \sum_{j=1}^3 W_j \{(\lambda_{26} + \lambda_{35}) \omega_1 \alpha_{3j} -$$

$$- (\lambda_{16} + \lambda_{34}) \omega_2 \alpha_{3j} + (\lambda_{16} \alpha_{2j} - \lambda_{26} \alpha_{1j}) \omega_3\} - m_k g (x_k \alpha_{22} - y_k \alpha_{12}) +$$

$$+ 0.5 m_{z1} \rho V_r^2 D_k F_n + M_z.$$

Здесь $V_i, \omega_i (i = 1, 2, 3)$ - проекции векторов скорости центра масс купола, совмещенного с началом O , и угловой скорости вращения купола; W_j - проекции скорости воздушной среды (ветра) на высоте центра давления купола; V_r - скорость центра давления купола относительно воздушной среды; $c_{x1}, c_{y1}, c_{z1}, m_{x1}, m_{y1}, m_{z1}$ - коэффициенты аэродинамических сил и моментов купола в осях системы $XOYZ$; $T_x, T_y, T_z, M_x, M_y, M_z$ - проекции главного вектора и главного момента сил натяжения строп; m_k - масса купола; $\lambda_{ij} (i, j = 1, \dots, 6)$ - коэффициенты присоединенных масс купола, вычисленные относительно осей системы $XOYZ$; x_k, y_k, z_k - координаты центра масс купола; $J_{ij} (i, j = 1, 2, 3)$ - компоненты тензора инерции купола в

осях системы XOYZ; F_n, D_k - характерные площадь и линейный размер купола; ρ - плотность воздуха; α_{ij} ($i, j = 1, 2, 3$) – косинусы углов между осями связанной с куполом системы XOYZ и неподвижной системы $X_gO_gY_gZ_g$

$$\alpha_{11} = \cos \psi \cos \vartheta; \quad \alpha_{12} = \sin \vartheta; \quad \alpha_{13} = -\sin \psi \cos \vartheta;$$

$$\alpha_{21} = -\cos \psi \sin \vartheta \cos \gamma + \sin \psi \sin \gamma; \quad \alpha_{22} = \cos \gamma \cos \vartheta;$$

$$\alpha_{23} = \cos \psi \sin \gamma + \sin \psi \sin \vartheta \cos \gamma; \quad \alpha_{31} = \cos \psi \sin \vartheta \sin \gamma + \sin \psi \cos \gamma;$$

$$\alpha_{32} = -\sin \gamma \cos \vartheta; \quad \alpha_{33} = \cos \psi \cos \gamma - \sin \psi \sin \vartheta \sin \gamma;$$

ϑ, γ, ψ - углы тангажа, крена и рысканья купола ПС.

Скорость воздушной среды (ветра) можно представить суммой

$$\overline{W}(t, x) = \overline{U}_0(x) + \overline{U}_t(t, x) + \overline{W}_t(t, x),$$

где $\overline{U}_0(\bar{x})$ - постоянная составляющая ветра

$$\overline{U}_0(\bar{x}) = (u_{01}, u_{02}, u_{03});$$

$$u_{01} = u_0 \cos \theta; \quad u_{02} = 0; \quad u_{03} = u_0 \sin \theta; \quad \theta = \text{Rav}[0, 2\pi];$$

$$u_0 = v_0 g(\bar{x}) \sqrt{-4/\pi \ln \gamma}; \quad g(x) = (x_2/h_0)k; \quad \gamma = \text{Rav}[0, 1];$$

$\bar{x} = (x_1, x_2, x_3)$ - пространственные координаты точки поля скоростей воздушной среды;

$\overline{U}_t(t, \bar{x})$ - порыв ветра

$$\overline{U}_t(t, \bar{x}) = a \bar{k}_a f(t);$$

a - амплитуда порыва; $\bar{k}_a = (k_{a1}, k_{a2}, k_{a3})$ - орты порыва; $f(t)$ - форма порыва

$$f_1(t) = \sin(\omega t + \phi); \quad f_2(t) = 1, \quad \text{при } t_1 < t < t_2;$$

Турбулентную составляющую ветра $\overline{W}_t(t, \bar{x})$ будем моделировать методом параметрических представлений случайных полей [2]

$$\bar{W} = (W_1, W_2, W_3); \quad \bar{W}_t(t, \bar{x}) = \bar{W}(\bar{x} - \bar{U}_0 t) = \bar{W}(\bar{y}),$$

где

$$W_k(y) = \sqrt{1/N} \sum_{i=1}^N b_k(z_i, u_i) \sin[u_i^T y + \phi], \quad k = 1, 2, 3;$$

$\bar{u} = (u_1, u_2, u_3)$ - вектор пространственной частоты с плотностью распределения $\psi(\bar{u})$;

$\bar{z} = (z_1, z_2, z_3)$ - векторная случайная величина с некоррелированными компонентами, распределенными по закону Релея

$$\bar{z} = k \sqrt{-\ln \gamma}; \quad \gamma = \text{Rav}[0, 1]; \quad k = \pm 1, 0 \text{ с } p = 0, 5;$$

$$b_k(z_i, u_i) = \sqrt{E(\bar{u}) / [4\pi u^2 \psi(\bar{u})]} \sum_{j=1}^k z_k a_{kj}(\bar{u});$$

a_{kj} - элементы матрицы $A_s(\bar{u}) = [a_{kj}(\bar{u})]$, определяемые соотношениями

$$A_s(\bar{u}) = \begin{pmatrix} k_u & 0 & 0 \\ -\frac{u_1 u_2}{k_u u^2} & \frac{\text{sign}(u_3) u_3}{k_u u} & 0 \\ -\frac{u_1 u_3}{k_u u^2} & -\frac{\text{sign}(u_3) u_3}{k_u u} & 0 \end{pmatrix}; \quad k_u = \sqrt{1 - u_1^2 / u^2}.$$

Функция $E(\bar{u})$ задает распределение кинетической энергии турбулентности по модулю пространственной частоты \bar{u} . При

$$\psi(\bar{u}) = \frac{E(\bar{u})}{4\pi u^2},$$

из условий

$$\psi(\bar{u}) > 0; \int_{R^3} \psi(\bar{u}) d\bar{u} = 1,$$

следует, что нормирующая константа $c = 1,5 \sigma_w^2$.

Методом обратной функции находим

$$\text{abs } \bar{u} = \frac{1}{L_w} \sqrt{\chi_1^2 / \chi_5^2}; \quad \bar{u} = (\text{abs } \bar{u}) \bar{e},$$

где χ_n^2 - случайная величина с распределением χ^2 и n степенями свободы; \bar{e} - вектор, изотропный в R_3 .

Уравнения движения КА записываем в проекциях на связанные с ним оси системы $X_r O_r Y_r Z_r$. Полагая, что центр масс и центр давления КА совмещены с началом O_r , имеем

$$m_r \dot{V}_{r1} + m_r (\omega_{r2} V_{r3} - \omega_{r3} V_{r2}) = -m_r g \beta_{12} - 0.5 c_{xT} \rho V_{rT}^2 S + T_{rX} + T_{rDx};$$

$$m_r \dot{V}_{r2} + m_r (\omega_{r3} V_{r1} - \omega_{r1} V_{r3}) = -m_r g \beta_{22} + 0.5 c_{yT} \rho V_{rT}^2 S + T_{rY} + T_{rDy};$$

$$m_r \dot{V}_{r3} + m_r (\omega_{r1} V_{r2} - \omega_{r2} V_{r1}) = -m_r g \beta_{32} + 0.5 c_{zT} \rho V_{rT}^2 S + T_{rZ} + T_{rDz};$$

$$\begin{aligned} J_{11}^r \dot{\omega}_{r1} + J_{12}^r \dot{\omega}_{r2} + J_{13}^r \dot{\omega}_{r3} + \omega_{r2} (J_{13}^r \omega_{r1} + J_{23}^r \omega_{r2} + J_{33}^r) - \omega_{r3} (J_{12}^r \omega_{r1} + J_{22}^r \omega_{r2} + J_{32}^r \omega_{r3}) = \\ = 0.5 m_{xT} \rho V_{rT}^2 S L + M_{rX} + M_{rDx}; \end{aligned}$$

$$\begin{aligned} J_{12}^r \dot{\omega}_{r1} + J_{22}^r \dot{\omega}_{r2} + J_{32}^r \dot{\omega}_{r3} + \omega_{r3} (J_{11}^r \omega_{r1} + J_{21}^r \omega_{r2} + J_{31}^r \omega_{r3}) - \omega_{r1} (J_{13}^r \omega_{r1} + J_{23}^r \omega_{r2} + J_{33}^r \omega_{r3}) = \\ = 0.5 m_{yT} \rho V_{rT}^2 S L + M_{rY} + M_{rDy}; \end{aligned}$$

$$\begin{aligned} J_{13}^r \dot{\omega}_{r1} + J_{23}^r \dot{\omega}_{r2} + J_{33}^r \dot{\omega}_{r3} + \omega_{r1} (J_{12}^r \omega_{r1} + J_{22}^r \omega_{r2} + J_{23}^r \omega_{r3}) - \omega_{r2} (J_{11}^r \omega_{r1} + J_{12}^r \omega_{r2} + J_{13}^r \omega_{r3}) = \\ = 0.5 m_{zT} \rho V_{rT}^2 S L + M_{rZ} + M_{rDz}. \end{aligned}$$

Здесь V_{ri} ($i = 1, 2, 3$) - проекции вектора скорости центра масс КА; ω_{ri} ($i = 1, 2, 3$) - проекции

вектора угловой скорости вращения КА; $V_{гг}$ - скорость центра давления КА; $m_{г}$ - масса КА; J_{ij}^r ($i, j = 1, 2, 3$) - компоненты тензора инерции КА в осях системы $X_{г}O_{г}Y_{г}Z_{г}$; S, L - характерные площадь и линейный размер КА; $c_{xг}, c_{yг}, c_{zг}, m_{xг}, m_{yг}, m_{zг}$ - коэффициенты аэродинамических сил и моментов КА в осях системы $X_{г}O_{г}Y_{г}Z_{г}$; $V_{гг}$ - скорость центра масс КА относительно воздушного потока; $T_{гx}, T_{гy}, T_{гz}, M_{гx}, M_{гy}, M_{гz}$ - проекции главного вектора и главного момента сил, действующих со стороны звеньев подвесной системы на КА; $T_{дx}, T_{дy}, T_{дz}, M_{дx}, M_{дy}, M_{дz}$ - проекции главного вектора и главного момента сил тяги ТДУ; β_{i2} ($i = 1, 2, 3$) – косинусы углов между осями системы координат $X_{г}O_{г}Y_{г}Z_{г}$, связанной с КА и неподвижной системы $X_{г}O_{г}Y_{г}Z_{г}$

$$\beta_{12} = \sin \vartheta_{г}; \quad \beta_{22} = \cos \gamma_{г} \cos \vartheta_{г}; \quad \beta_{32} = -\sin \gamma_{г} \cos \vartheta_{г};$$

$\vartheta_{г}, \gamma_{г}$ - углы тангажа и крена КА.

Поскольку масса $m_{г}$ включает не только массу собственно КА, но и массу ТДУ, на этапах работы ТДУ масса $m_{г}$ считается функцией времени. Изменение массы КА учитываем следующим равенством

$$m_{г} = m_0 - \int_{t_0}^t \mu dt;$$

где $m_0 = m_{00} + m_{т0}$;

m_{00} - масса КА без топлива; $m_{т0}$ - начальный запас массы топлива; μ - секундный массовый расход топлива

$$\mu = \dot{m};$$

t_0 - момент времени включения ТДУ.

В процессе выгорания топлива происходят изменения положения центра масс и моментов инерции КА, которые можно описать выражениями

$$m_{г} l_c = m_0 x_{c0} - x_{ст} \int_{t_0}^t \mu dt; \quad x_{c0} = l_c(t_0); \quad m_0 x_{c0} = m_{00} x_{c00} + m_{т0} x_{ст};$$

$$J_x = J_{x0} + J_{xt}; \quad J_{xt} = m_{т} r^2; \quad m_{т} = m_{т0} - \int_{t_0}^t \mu dt;$$

$$J_y = J_{y0} + J_{yt}; \quad J_{yt} = m_T(x_{ct}^2 + r^2/2); \quad J_z = J_{z0} + J_{zt}; \quad J_{zt} = m_T(x_{ct}^2 + r^2/2).$$

Здесь x_{c00} - координата центра масс КА без топлива; x_{ct} - координата центра масс топлива; I_c - координата центра масс КА; J_{x0} - момент инерции КА без топлива; J_{xt} - момент инерции топлива; r - радиус кольца, на котором распределена масса топлива. Изменение центробежных моментов инерции при выбранной модели распределения массы топлива по кольцу не происходит.

При вычислении проекций главного вектора и главного момента сил тяги ТДУ предположим, что тормозные двигатели расположены на кольце с центром на оси $O_r X_r$ и создаваемые ими тяги параллельны и направлены в одну сторону. В этом случае реактивные силы имеют равнодействующую, проходящую через центр параллельных сил. При одинаковых двигателях и симметричном их расположении относительно оси $O_r X_r$ центр параллельных сил имеет координаты $(x_p, 0, 0)$. Если управление торможением заключается в изменении величины тяги и повороте осей ТДУ в одну и ту же сторону на один и тот же угол вокруг параллельных осей, то силы тяги ТДУ и их моменты относительно осей связанной системы определяются по формулам

$$T_{dx} = -u_r \mu \cos \delta \cos \chi; \quad T_{dy} = -u_r \mu \cos \delta \sin \chi; \quad T_{dz} = -u_r \mu \sin \delta;$$

$$M_{dx} = 0; \quad M_{dy} = -x_p T_{dx}; \quad M_{dz} = x_p T_{dy},$$

где u_r – модуль относительной скорости отделяющихся частиц топлива; δ - угол между относительной скоростью центра масс отделяющихся частиц и плоскостью $X_r O_r Y_r$; χ - угол между проекцией вектора относительной скорости \vec{u}_r на плоскость $X_r O_r Y_r$ и осью $O_r X_r$.

Выражения, определяющие проекции главных векторов и главных моментов сил натяжения строп и сил, действующих со стороны звеньев подвесной системы на КА, а также равенства, связывающие кинематические параметры движения и углового положения купола и КА, записываются при задании конструктивной схемы подвесной системы КА.

Библиографический список.

1. Рысев О.В., Вишняк А.А., Чуркин В.М., Юрцев Ю.Н. Динамика связанных тел в задачах движения парашютных систем. – М.: Машиностроение, 1992 – 288 с.
2. Шалыгин А.С., Палагин Ю.И. Прикладные методы статистического моделирования. - Л.: Машиностроение, 1986 – 320 с.

Сведения об авторе.

Чуркин Валерий Михайлович; профессор Московского авиационного института (национального исследовательского университета), д.ф.-м.н., тел.: (499) 158-45-84 ; 613-30-13.; e-mail: churandr@mail.ru

